

SPRAWOZDANIE

STRUKTURY DANYCH I ZŁOŻONOŚĆ OBLICZENIOWA

ZADANIE PROJEKTOWE NR 2

BADANIE EFEKTYWNOŚCI ALGORYTMÓW
GRAFOWYCH W ZALEŻNOŚCI OD ROZMIARU
ORAZ SPOSOBU REPREZENTACJI GRAFU W
PAMIĘCI KOMPUTERA

Autor:
Patryk Dulęba 259213

Prowadzący:
Dr inż. Dariusz Banasiak

1 Wstęp teoretyczny

1.1 Cel

Zadanie projektowe polegało na zaimplementowaniu oraz dokonaniu pomiaru czasu wykonywania algorytmów grafowych dla grafów przechowywanych w postaci **macierzy incydencji** oraz **listy sąsiedztwa**.

Badane algorytmy:

- Wyznaczanie minimalnego drzewa rozpinającego (MST)
 1. algorytm Prima
 2. algorytm Kruskala
- Wyznaczanie najkrótszej ścieżki w grafie
 1. algorytm Dijkstry
 2. algorytm Bellmana-Forda

1.2 Założenia

Przed implementacją zostały podane założenia co do sposobu wykonywania zadania:

- Program został napisany w języku **C++** przy użyciu środowiska **Visual Studio**
- Wszystkie struktury danych są alokowane dynamicznie
- Wagami krawędzi są liczby całkowite typu **int**

Implementacja Macierzy:

- Macierz jest dwuwymiarową tablicą alokowaną dynamicznie
- Kolumny odpowiadają numerom krawędzi, natomiast wiersze numerom wierzchołków
- Macierz wypełniona jest następującymi wartościami:
 - **0** Brak połączenia wierzchołka z krawędzią
 - **1** Krawędź wychodzi z danego wierzchołka
 - **-1** Krawędź dociera do danego wierzchołka

Implementacja Listy:

- Lista została zaimplementowana jako dynamiczna tablica struktur odpowiadająca konkretnym wierzchołkom grafu
- Struktura pojedynczego wierzchołka zawiera: numer wierzchołka, z którym jest połączony; wagę krawędzi, która je łączy oraz wskaźnik na kolejny sąsiadujący wierzchołek.

1.3 Złożoność obliczeniowa

Badane algorytmy wykonywane na zadanych strukturach posiadają tzw. książkową złożoność obliczeniową, czyli według definicji ilość zasobów komputerowych potrzebnych do jego wykonania. Złożoność możemy podzielić na trzy typy:

- Złożoność optymistyczna – najkrótszy możliwy czas wykonania algorytmu.
- Złożoność średnia – standardowy czas wykonywania algorytmu.
- Złożoność pesymistyczna – najdłuższy możliwy czas wykonania algorytmu.

Legenda oznaczeń:

- **E** liczba krawędzi w grafie
- **V** liczba wierzchołków w grafie

1.3.1 Złożoność algorytmu Prima

O rzędzie złożoności decyduje implementacja kolejki priorytetowej:

- dla implementacji poprzez zwykłą tablicę złożoność wynosi $O(E \cdot V)$
- dla implementacji kolejki poprzez kopie, złożoność wynosi $O(E \cdot \log(V))$

1.3.2 Złożoność algorytmu Kruskala

Niezależnie od implementacji złożoność obliczeniowa algorytmu Kruskala jest równa: $O(E \cdot \log(V))$

1.3.3 Złożoność algorytmu Dijkstry

O rzędzie złożoności decyduje implementacja kolejki priorytetowej:

- dla implementacji poprzez zwykłą tablicę złożoność wynosi $O(V^2)$
- dla implementacji kolejki poprzez kopie, złożoność wynosi $O(E \cdot \log(V))$

1.3.4 Złożoność algorytmu Bellmana-Forda

Niezależnie od implementacji złożoność obliczeniowa algorytmu Bellmana-Forda jest równa: $O(E \cdot V)$

2 Plan eksperymentu

W zaimplementowanym programie występuje podział na dwa podprogramy, osobny dla macierzy incydencji i osobny dla listy sąsiedztwa. Dla każdej struktury poza wykonaniem wymaganych algorytmów istnieje możliwość wczytania grafu z pliku tekstowego, oraz automatyczne wygenerowanie grafu z określoną liczbą wierzchołków, oraz gęstością. Dodatkowo każdy graf możemy wyświetlić na ekranie w postaci danej struktury. Pomiar czasu został zaimplementowany za pomocą osobnej funkcji testującej.

Do przeprowadzenia eksperymentu zostały użyte następujące wielkości grafu:

- Liczba wierzchołków: **10, 25, 50, 75, 100**
- Gęstość grafu: **25%, 50%, 75%, 99%**

Pomiar czasu poszczególnych operacji został wykonany za pomocą: **QueryPerformanceCounter**.

Przebieg pomiaru wyglądał w następujący sposób:

1. Podanie liczby wierzchołków oraz gęstości grafu
2. Generowanie grafu o podanych parametrach
3. Wykonanie danego algorytmu wraz z pomiarem czasu
4. Dodanie uzyskanego pomiaru czasu do zmiennej liczącej

Po 50 krotnym wykonaniu powyższych operacji funkcja liczyła i wypisywała średnią

3 Generowanie grafu

Do generowania grafu zostały napisane dwie funkcje, jedna generuje graf nieskierowany dla algorytmów MST, druga skierowany dla algorytmów wyszukiwania najkrótszej drogi. Zasada działania obu jest taka sama. Początkowo z otrzymanych danych wyliczana zostaje liczba potrzebnych krawędzi. Następnie tworzona zostaje tablica przechowująca numery wszystkich wierzchołków, później za pomocą pętli wartości tablicy zostają pomieszan. W kolejnym kroku zostają utworzone krawędzie łączące kolejne wierzchołki zapisane w tablicy. Opisane działania gwarantują nam, iż otrzymany graf z pewnością będzie spójny. Na koniec za pomocą funkcji **rand()** generowane zostają pozostałe krawędzie aż do osiągnięcia wymaganej gęstości.

4 Wyniki pomiarów

4.1 Wyszukiwanie minimalnego drzewa rozpinającego algorytmem Prima oraz Kruskala

| | 25% | 50% | 75% | 99% |
|-----|------|-------|-------|-------|
| 10 | 14 | 28 | 34 | 39 |
| 25 | 107 | 203 | 279 | 351 |
| 50 | 690 | 1333 | 2031 | 2742 |
| 75 | 2314 | 6721 | 8322 | 12513 |
| 100 | 6892 | 15710 | 28580 | 43010 |

Tabela 1: Pomiary czasu $[\mu s]$ algorytmem Prima - graf w postaci macierzy incydencji

| | 25% | 50% | 75% | 99% |
|-----|-----|-----|-----|-----|
| 10 | 15 | 13 | 11 | 14 |
| 25 | 34 | 43 | 54 | 59 |
| 50 | 94 | 124 | 160 | 191 |
| 75 | 169 | 259 | 331 | 411 |
| 100 | 291 | 416 | 582 | 740 |

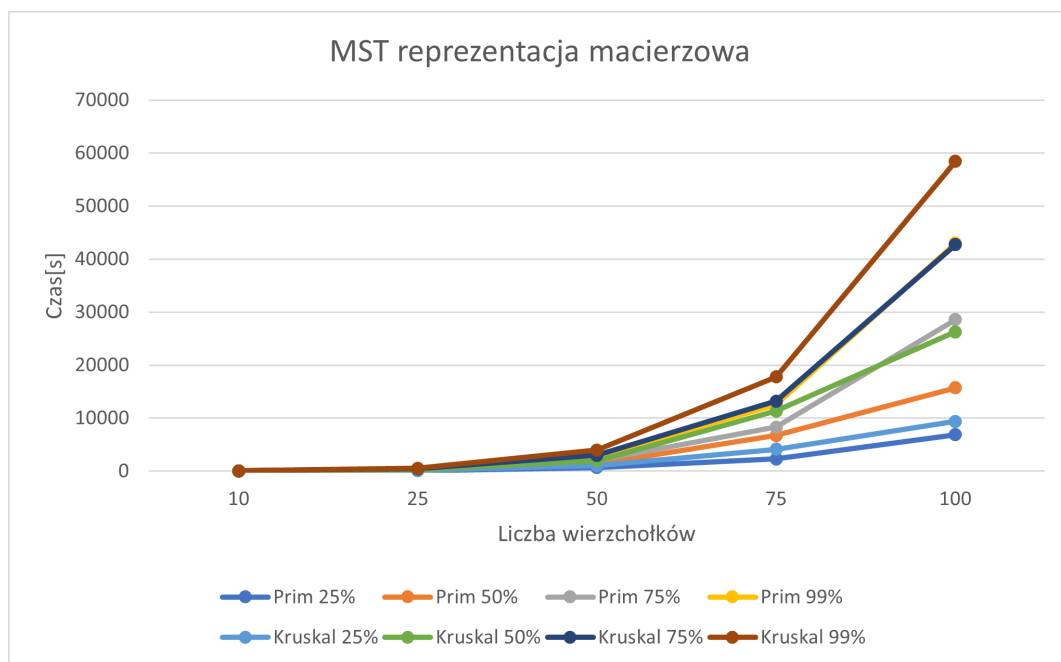
Tabela 2: Pomiary czasu $[\mu s]$ algorytmem Prima - graf w postaci listy sąsiedztwa

| | 25% | 50% | 75% | 99% |
|-----|------|-------|-------|-------|
| 10 | 23 | 36 | 50 | 53 |
| 25 | 171 | 306 | 421 | 538 |
| 50 | 1023 | 1962 | 3013 | 3986 |
| 75 | 4117 | 11355 | 13204 | 17784 |
| 100 | 9360 | 26261 | 42715 | 58461 |

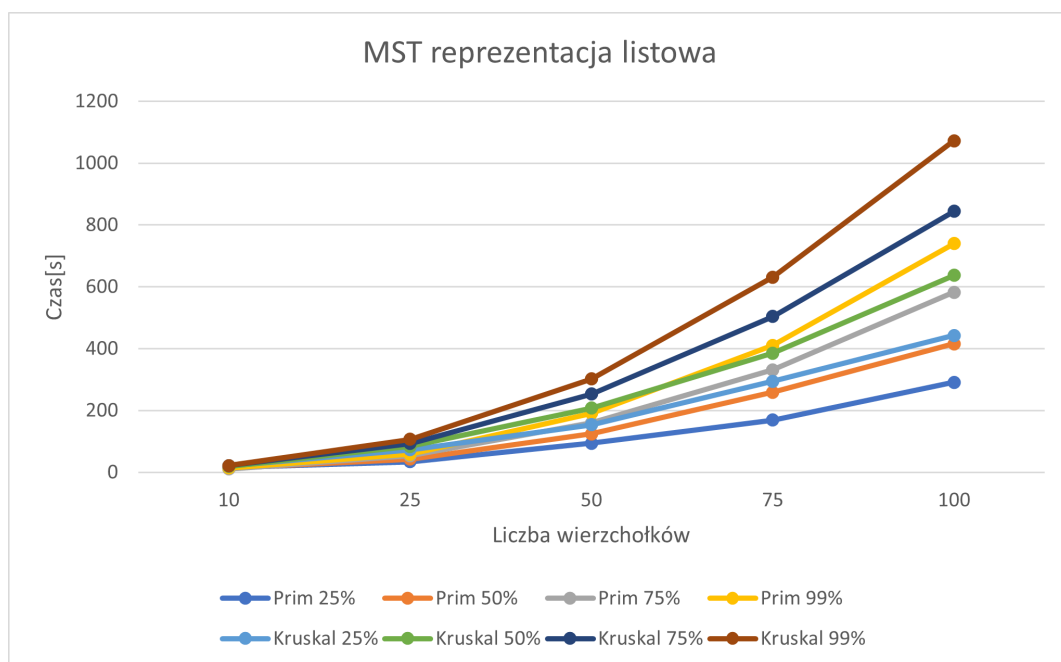
Tabela 3: Pomiary czasu $[\mu s]$ algorytmem Kruskala - graf w postaci macierzy incydencji

| | 25% | 50% | 75% | 99% |
|-----|-----|-----|-----|------|
| 10 | 20 | 19 | 22 | 22 |
| 25 | 73 | 84 | 93 | 107 |
| 50 | 154 | 208 | 253 | 302 |
| 75 | 294 | 385 | 504 | 631 |
| 100 | 443 | 637 | 844 | 1072 |

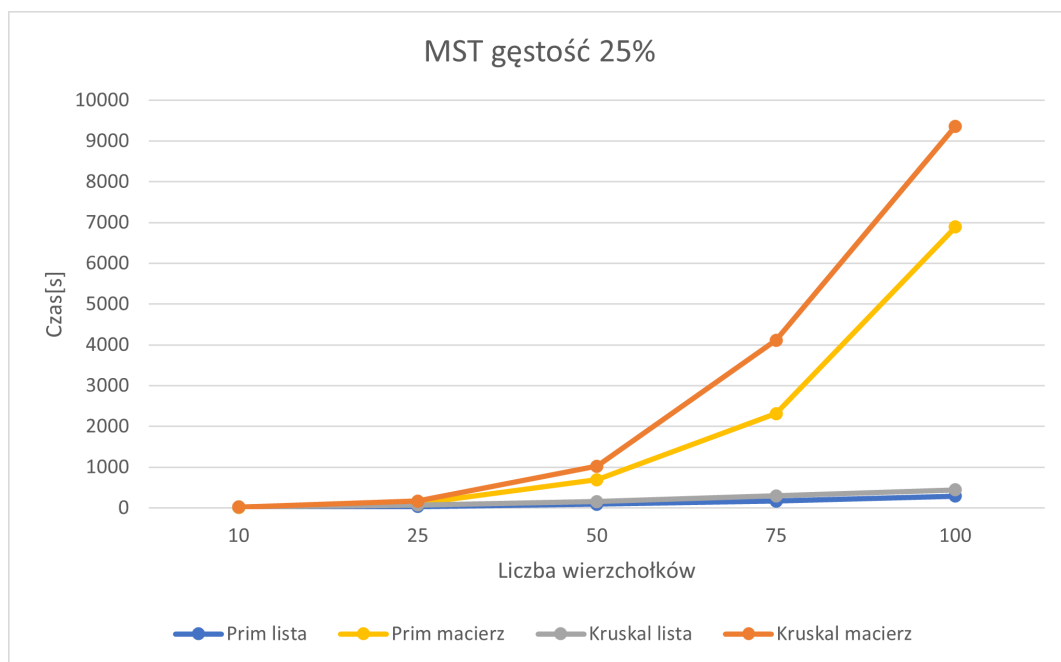
Tabela 4: Pomiary czasu $[\mu s]$ algorytmem Kruskala - graf w postaci listy sąsiedztwa



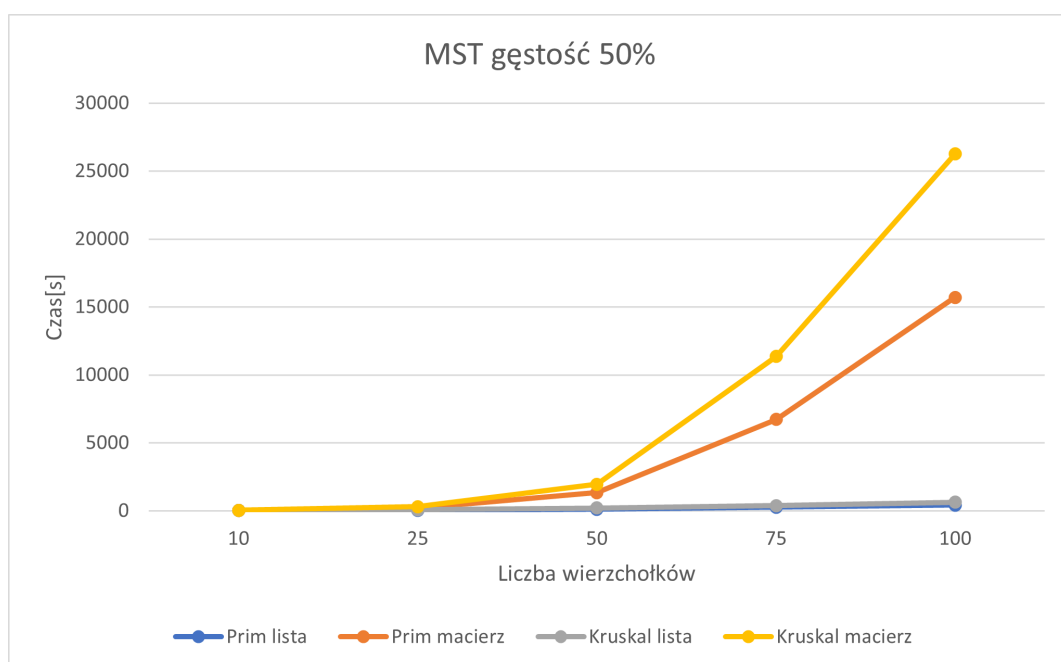
Rysunek 1: MST reprezentacja macierzowa



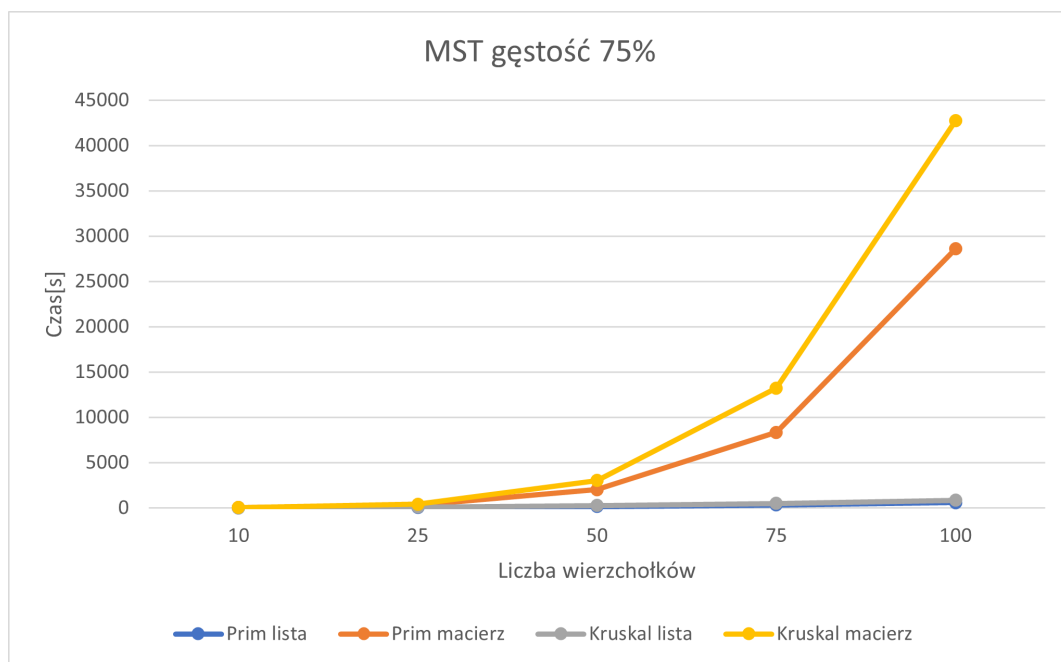
Rysunek 2: MST reprezentacja listowa



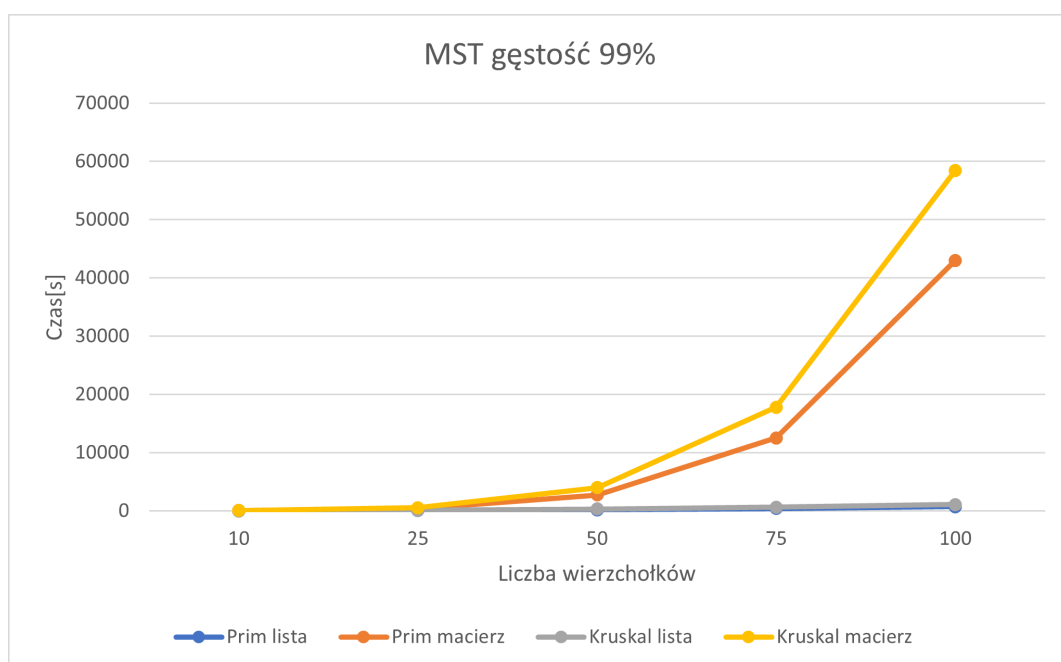
Rysunek 3: MST przy gęstości grafu 25%



Rysunek 4: MST przy gęstości grafu 50%



Rysunek 5: MST przy gęstości grafu 75%



Rysunek 6: MST przy gęstości grafu 99%

4.2 Wyszukiwanie najkrótszej drogi w grafie algorytmem Dijkstry oraz Bellmana-Forda

| | 25% | 50% | 75% | 99% |
|-----|------|------|------|------|
| 10 | 5 | 7 | 10 | 10 |
| 25 | 30 | 44 | 62 | 80 |
| 50 | 154 | 289 | 427 | 561 |
| 75 | 543 | 997 | 1529 | 1958 |
| 100 | 1191 | 2355 | 4163 | 6403 |

Tabela 5: Pomiary czasu[μs] algorytmem Dijkstry - graf w postaci macierzy incydencji

| | 25% | 50% | 75% | 99% |
|-----|-----|-----|-----|-----|
| 10 | 3 | 5 | 6 | 4 |
| 25 | 10 | 12 | 11 | 12 |
| 50 | 27 | 29 | 33 | 38 |
| 75 | 53 | 60 | 67 | 82 |
| 100 | 86 | 98 | 116 | 134 |

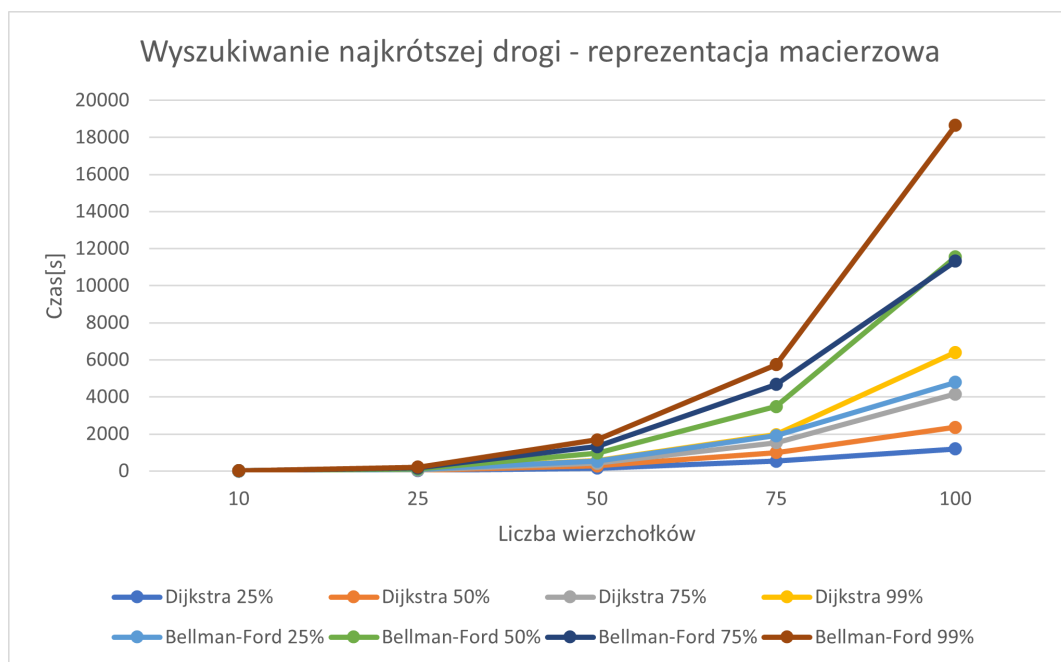
Tabela 6: Pomiary czasu[μs] algorytmem Dijkstry - graf w postaci listy sąsiedztwa

| | 25% | 50% | 75% | 99% |
|-----|------|-------|-------|-------|
| 10 | 6 | 14 | 16 | 15 |
| 25 | 79 | 122 | 174 | 218 |
| 50 | 534 | 973 | 1320 | 1682 |
| 75 | 1905 | 3481 | 4674 | 5742 |
| 100 | 4781 | 11557 | 11324 | 18645 |

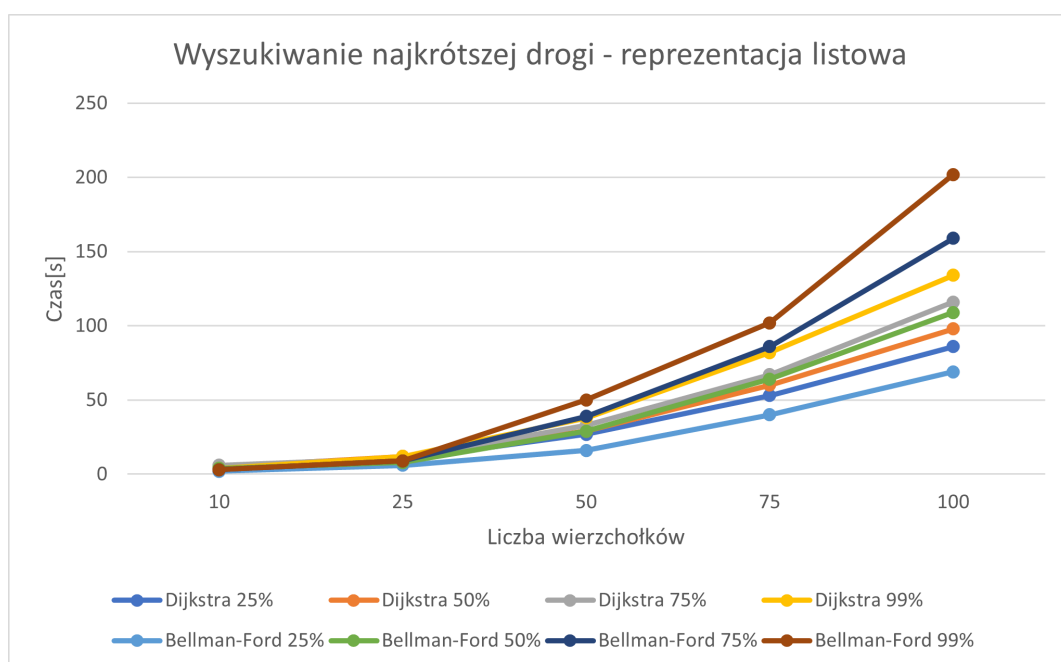
Tabela 7: Pomiary czasu[μs] algorytmem Bellmana-Forda - graf w postaci macierzy incydencji

| | 25% | 50% | 75% | 99% |
|-----|-----|-----|-----|-----|
| 10 | 2 | 4 | 3 | 3 |
| 25 | 6 | 8 | 9 | 9 |
| 50 | 16 | 29 | 39 | 50 |
| 75 | 40 | 64 | 86 | 102 |
| 100 | 69 | 109 | 159 | 202 |

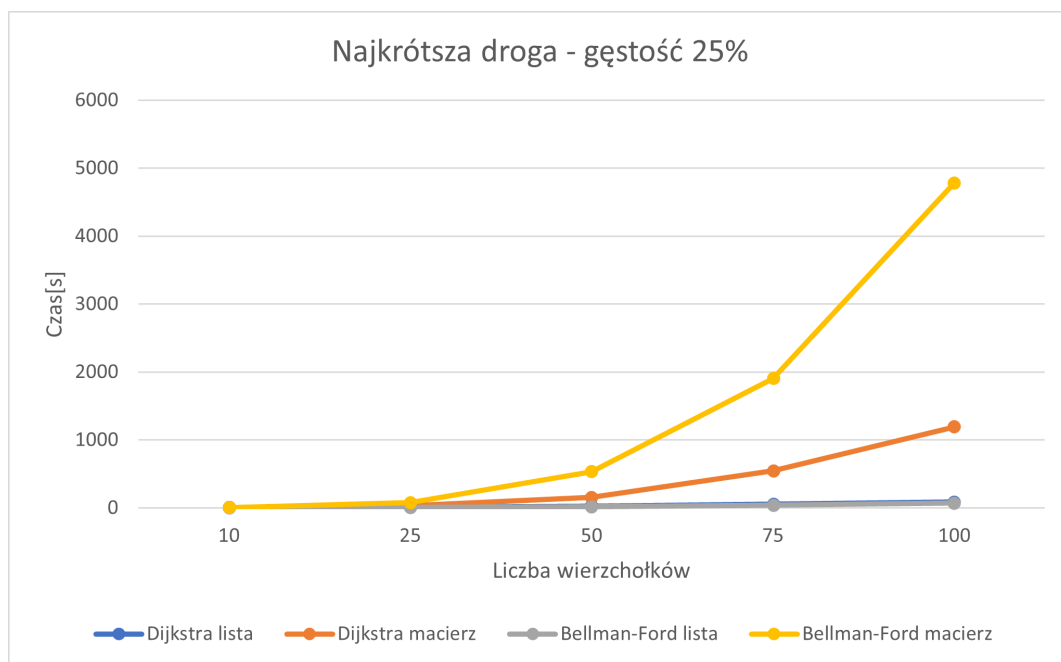
Tabela 8: Pomiary czasu[μs] algorytmem Bellmana-Forda - graf w postaci listy sąsiedztwa



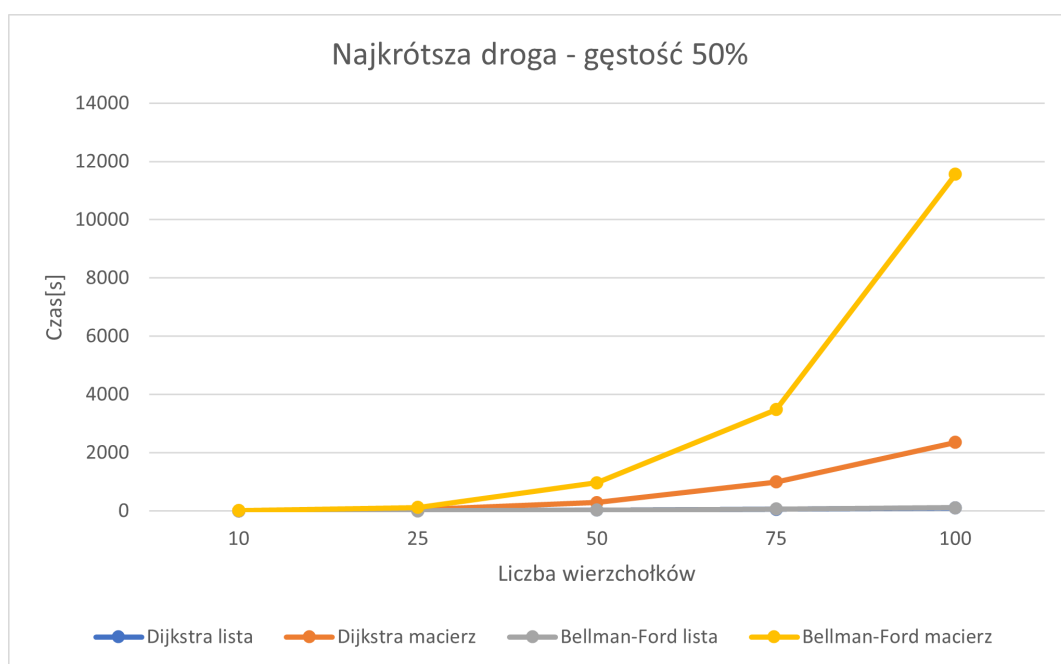
Rysunek 7: Wyszukiwanie najkrótszej drogi w grafie - reprezentacja macierzowa



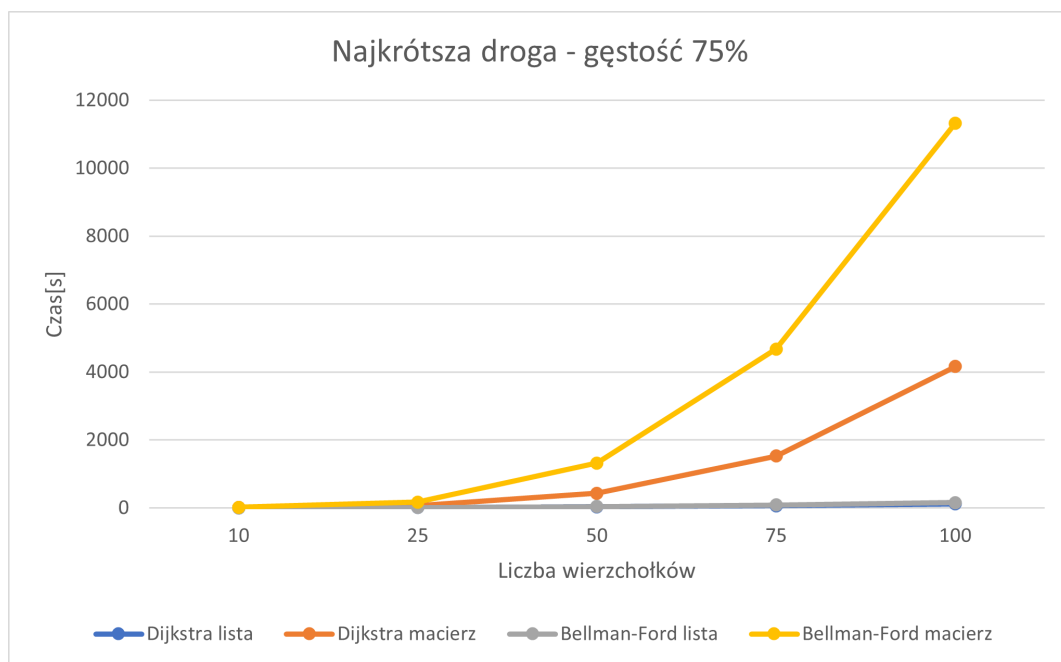
Rysunek 8: Wyszukiwanie najkrótszej drogi w grafie - reprezentacja listowa



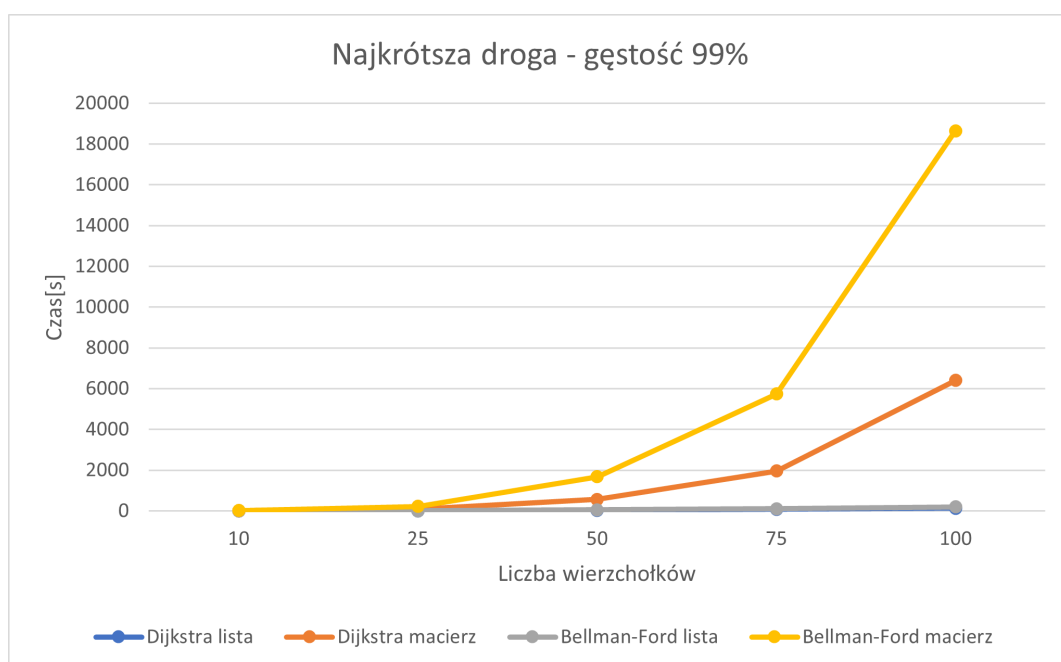
Rysunek 9: Wyszukiwanie najkrótszej drogi w grafie przy gęstości grafu 25%



Rysunek 10: Wyszukiwanie najkrótszej drogi w grafie przy gęstości grafu 50%



Rysunek 11: Wyszukiwanie najkrótszej drogi w grafie przy gęstości grafu 75%



Rysunek 12: Wyszukiwanie najkrótszej drogi w grafie przy gęstości grafu 99%

5 Wnioski

Na podstawie otrzymanych pomiarów można stwierdzić, iż wykonywanie poszczególnych algorytmów na liście sąsiedztwa jest znacznie szybsze niż na macierzy incydencji.

Spowodowane jest to specyfiką budowy każdej ze struktur. Lista umożliwia nam szybkie poruszanie się między sąsiednimi wierzchołkami poprzez wskaźniki, natomiast przy implementacji za pomocą macierzy incydencji, aby znaleźć sąsiadujący wierzchołek, musimy przeszukiwać całą macierz, czyli tablicę dwuwymiarową, co zajmuje znacznie więcej czasu. Otrzymane za pomocą wykresów złożoności obliczeniowej w niektórych przypadkach różnią się od tych książkowych, co wynika z błędów podczas implementacji poszczególnych algorytmów.